

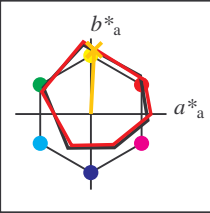
Entrée et sortie: Système Offset Reflective ORS18a pour la teinte CIELAB relative  $h_{ab,a,rel} = h_{ab}/360 = 87/360 = 0.24$

$H^*_d = R75Y_d$

Données de couleurs périphériques (d)

ou élémentaires (e):

$HIC^*_d$   
code de teinte pour les couleurs de cette page:  
 $H^*_d = R75Y_d$   
triangle de luminosité  $T^*$



**ORS20a; données CIELAB (a) adaptées**

nom	$L^*=L^*_a$	$a^*_a$	$b^*_a$	$C^*_{ab,a}$	$h^*_{ab,a}$
R <sub>d, Ma</sub>	45.4	70.9	44.8	83.9	32
Y <sub>d, Ma</sub>	87.8	-10.2	95.4	96.0	96
G <sub>d, Ma</sub>	50.0	-65.0	29.6	71.4	155
C <sub>d, Ma</sub>	56.8	-25.5	-41.5	48.7	238
B <sub>d, Ma</sub>	25.0	29.5	-40.4	50.0	306
M <sub>d, Ma</sub>	46.1	79.3	-0.2	79.3	359
N <sub>d, Ma</sub>	24.3	0.0	0.0	0.0	0
W <sub>d, Ma</sub>	95.6	0.0	0.0	0.0	0
R <sub>d, CIE</sub>	39.9	58.7	27.9	65.0	25
Y <sub>d, CIE</sub>	81.2	-2.8	71.5	71.6	92
G <sub>d, CIE</sub>	52.2	-42.4	13.6	44.5	162
B <sub>d, CIE</sub>	30.5	1.4	-46.4	46.4	271

Les données de couleur maximale (Ma):

$LabCh^*_d, Ma: 78\ 4\ 84\ 84\ 87$

$HIC^*_d, Ma: R75Y\_100\_100_d$

$rgbic^*_d, Ma:$

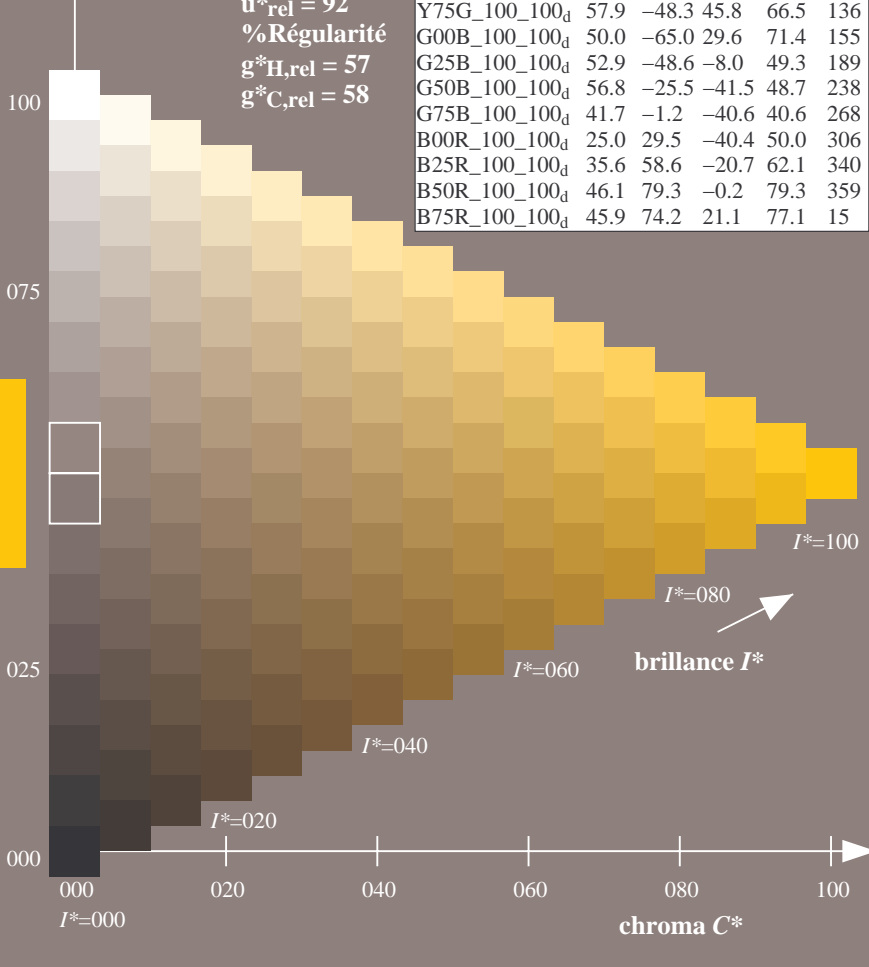
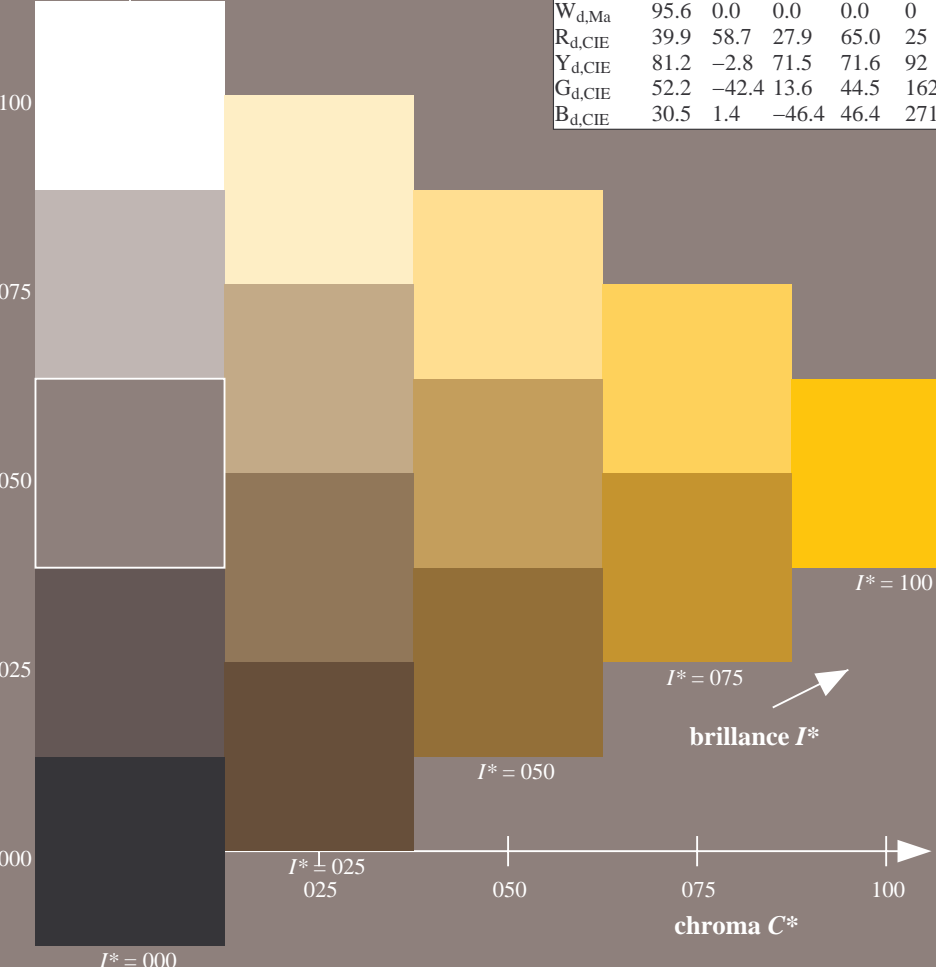
1.0 0.76 0.0 1.0 1.0

triangle de luminosité  $T^*$

% Gamme  
 $u^*_{rel} = 92$   
% Régularité  
 $g^*_{H, rel} = 57$   
 $g^*_{C, rel} = 58$

**ORS20a; données CIELAB (a) adaptées**

$H^*_d$	$L^*=L^*_a$	$a^*_a$	$b^*_a$	$C^*_{ab,a}$	$h^*_{ab,a}$
R00Y_100_100 <sub>d</sub>	45.4	70.9	44.8	83.9	32
R25Y_100_100 <sub>d</sub>	53.0	53.4	54.8	76.5	45
R50Y_100_100 <sub>d</sub>	64.9	28.9	68.6	74.5	67
R75Y_100_100 <sub>d</sub>	78.6	4.3	84.7	84.8	87
Y00G_100_100 <sub>d</sub>	87.8	-10.2	95.4	96.0	96
Y25G_100_100 <sub>d</sub>	81.2	-17.0	84.3	86.0	101
Y50G_100_100 <sub>d</sub>	70.6	-29.7	66.5	72.8	114
Y75G_100_100 <sub>d</sub>	57.9	-48.3	45.8	66.5	136
G00B_100_100 <sub>d</sub>	50.0	-65.0	29.6	71.4	155
G25B_100_100 <sub>d</sub>	52.9	-48.6	-8.0	49.3	189
G50B_100_100 <sub>d</sub>	56.8	-25.5	-41.5	48.7	238
G75B_100_100 <sub>d</sub>	41.7	-1.2	-40.6	40.6	268
B00R_100_100 <sub>d</sub>	25.0	29.5	-40.4	50.0	306
B25R_100_100 <sub>d</sub>	35.6	58.6	-20.7	62.1	340
B50R_100_100 <sub>d</sub>	46.1	79.3	-0.2	79.3	359
B75R_100_100 <sub>d</sub>	45.9	74.2	21.1	77.1	15



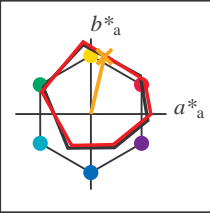
Entrée et sortie: Système Offset Reflective ORS18a pour la teinte CIELAB relative  $h_{ab,a,rel} = h_{ab}/360 = 76/360 = 0.21$

$H^*_e = R75Y_e$

Données de couleurs périphériques (d)

ou élémentaires (e):

$HIC^*_e$   
code de teinte pour les couleurs de cette page:  
 $H^*_e = R75Y_e$   
triangle de luminosité  $T^*$



**ORS20a; données CIELAB (a) adaptées**

nom	$L^*=L^*_a$	$a^*_a$	$b^*_a$	$C^*_{ab,a}$	$h^*_{ab,a}$
R <sub>e</sub> ,Ma	45.6	72.2	34.4	80.0	25
Y <sub>e</sub> ,Ma	83.6	-3.6	90.4	90.4	92
G <sub>e</sub> ,Ma	50.6	-62.1	19.9	65.2	162
C <sub>e</sub> ,Ma	55.0	-36.2	-27.2	45.3	216
B <sub>e</sub> ,Ma	40.2	1.2	-40.6	40.6	271
M <sub>e</sub> ,Ma	31.1	47.7	-29.1	55.9	328
N <sub>e</sub> ,Ma	24.3	0.0	0.0	0.0	0
W <sub>e</sub> ,Ma	95.6	0.0	0.0	0.0	0
R <sub>e</sub> ,CIE	39.9	58.7	27.9	65.0	25
Y <sub>e</sub> ,CIE	81.2	-2.8	71.5	71.6	92
G <sub>e</sub> ,CIE	52.2	-42.4	13.6	44.5	162
B <sub>e</sub> ,CIE	30.5	1.4	-46.4	46.4	271

Les données de couleur maximale (Ma):

$LabCh^*_{e, Ma}: 70 \ 17 \ 75 \ 77 \ 76$

$HIC^*_{e, Ma}: R75Y_{100_{100}e}$

$rgbic^*_{e, Ma}$ :

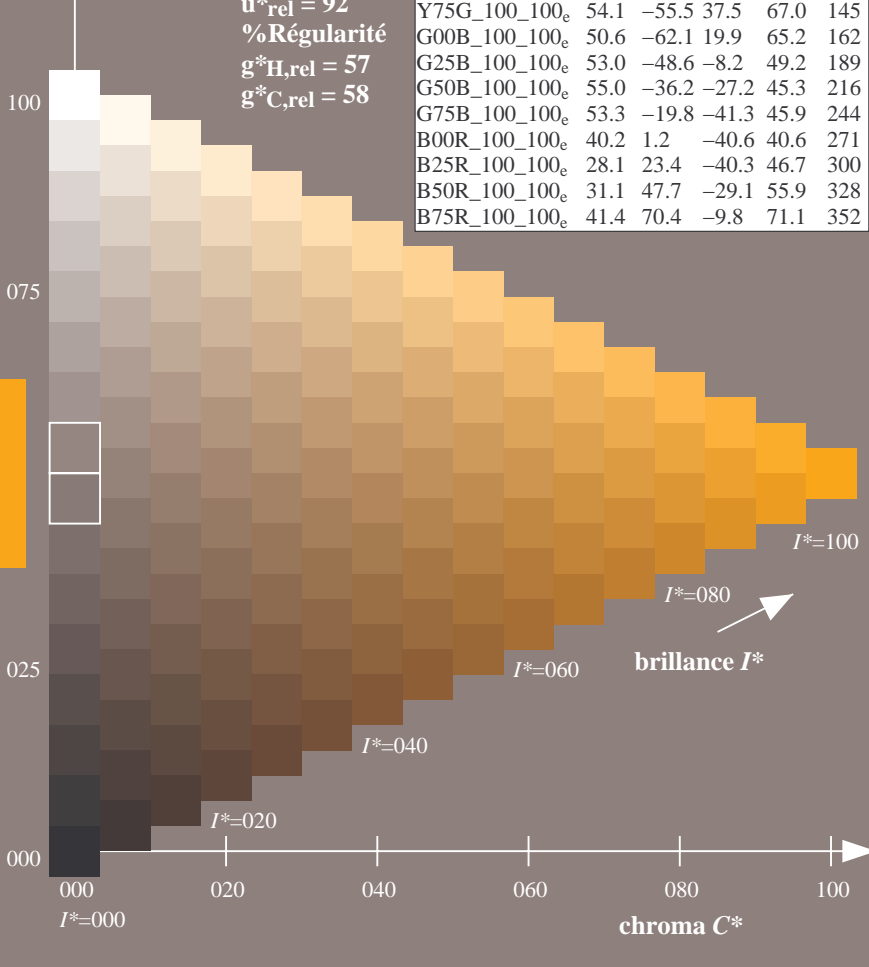
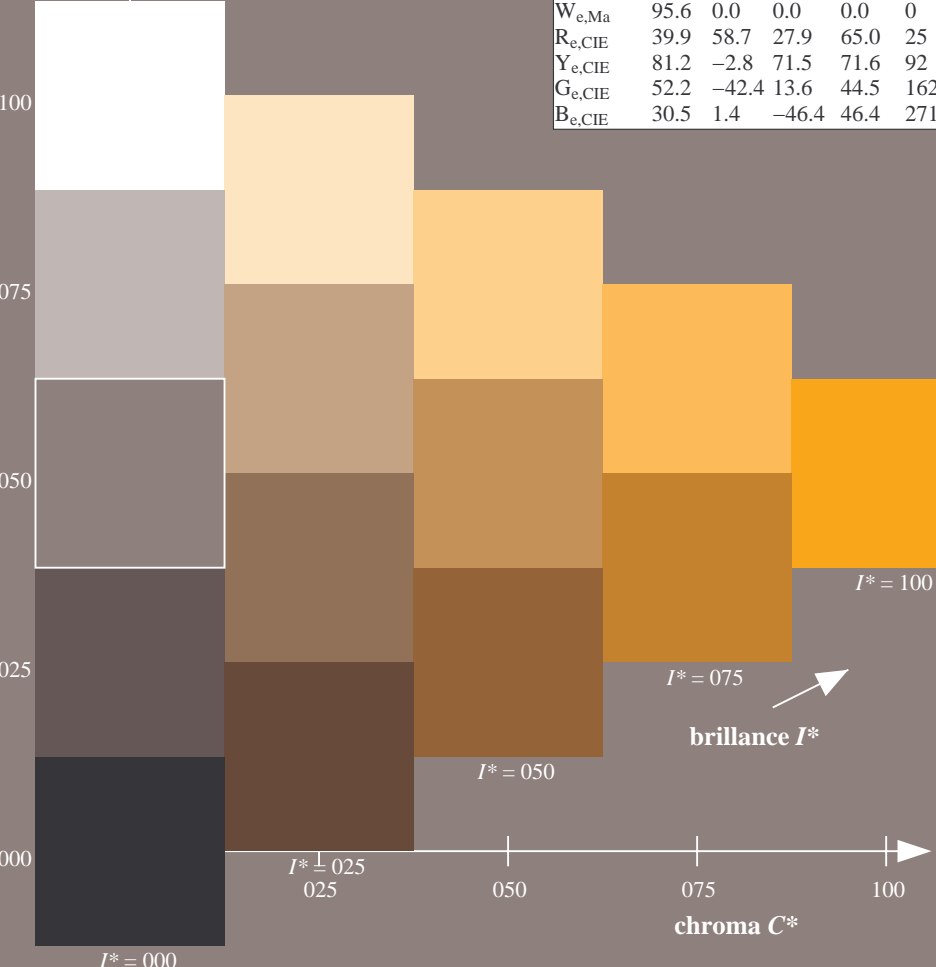
1.0 0.6 0.0 1.0 1.0

triangle de luminosité  $T^*$

% Gamme  
 $u^*_{rel} = 92$   
% Régularité  
 $g^*_{H,rel} = 57$   
 $g^*_{C,rel} = 58$

**ORS20a; données CIELAB (a) adaptées**

$H^*_e$	$L^*=L^*_a$	$a^*_a$	$b^*_a$	$C^*_{ab,a}$	$h^*_{ab,a}$
R00Y_100_100 <sub>e</sub>	45.6	72.2	34.4	80.0	25
R25Y_100_100 <sub>e</sub>	50.5	59.2	51.6	78.6	41
R50Y_100_100 <sub>e</sub>	60.2	38.2	63.4	74.1	58
R75Y_100_100 <sub>e</sub>	70.9	17.9	75.9	77.9	76
Y00G_100_100 <sub>e</sub>	83.6	-3.6	90.4	90.4	92
Y25G_100_100 <sub>e</sub>	74.5	-25.0	74.3	78.4	108
Y50G_100_100 <sub>e</sub>	62.6	-40.9	53.8	67.6	127
Y75G_100_100 <sub>e</sub>	54.1	-55.5	37.5	67.0	145
G00B_100_100 <sub>e</sub>	50.6	-62.1	19.9	65.2	162
G25B_100_100 <sub>e</sub>	53.0	-48.6	-8.2	49.2	189
G50B_100_100 <sub>e</sub>	55.0	-36.2	-27.2	45.3	216
G75B_100_100 <sub>e</sub>	53.3	-19.8	-41.3	45.9	244
B00R_100_100 <sub>e</sub>	40.2	1.2	-40.6	40.6	271
B25R_100_100 <sub>e</sub>	28.1	23.4	-40.3	46.7	300
B50R_100_100 <sub>e</sub>	31.1	47.7	-29.1	55.9	328
B75R_100_100 <sub>e</sub>	41.4	70.4	-9.8	71.1	352



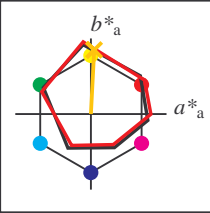
Entrée et sortie: Système Offset Reflective ORS18a pour la teinte CIELAB relative  $h_{ab,a,rel} = h_{ab}/360 = 87/360 = 0.24$

$H^*_d = R75Y_d$

Données de couleurs périphériques (d)

ou élémentaires (e):

$HIC^*_d$   
code de teinte pour les couleurs de cette page:  
 $H^*_d = R75Y_d$   
triangle de luminosité  $T^*$



**ORS20a; données CIELAB (a) adaptées**

nom	$L^*=L^*_a$	$a^*_a$	$b^*_a$	$C^*_{ab,a}$	$h^*_{ab,a}$
R <sub>d, Ma</sub>	45.4	70.9	44.8	83.9	32
Y <sub>d, Ma</sub>	87.8	-10.2	95.4	96.0	96
G <sub>d, Ma</sub>	50.0	-65.0	29.6	71.4	155
C <sub>d, Ma</sub>	56.8	-25.5	-41.5	48.7	238
B <sub>d, Ma</sub>	25.0	29.5	-40.4	50.0	306
M <sub>d, Ma</sub>	46.1	79.3	-0.2	79.3	359
N <sub>d, Ma</sub>	24.3	0.0	0.0	0.0	0
W <sub>d, Ma</sub>	95.6	0.0	0.0	0.0	0
R <sub>d, CIE</sub>	39.9	58.7	27.9	65.0	25
Y <sub>d, CIE</sub>	81.2	-2.8	71.5	71.6	92
G <sub>d, CIE</sub>	52.2	-42.4	13.6	44.5	162
C <sub>d, CIE</sub>	52.2	-42.4	13.6	44.5	162
B <sub>d, CIE</sub>	30.5	1.4	-46.4	46.4	271

Les données de couleur maximale (Ma):

$LabCh^*_{d, Ma}: 78\ 4\ 84\ 84\ 87$

$HIC^*_{d, Ma}: R75Y\_100\_100_d$

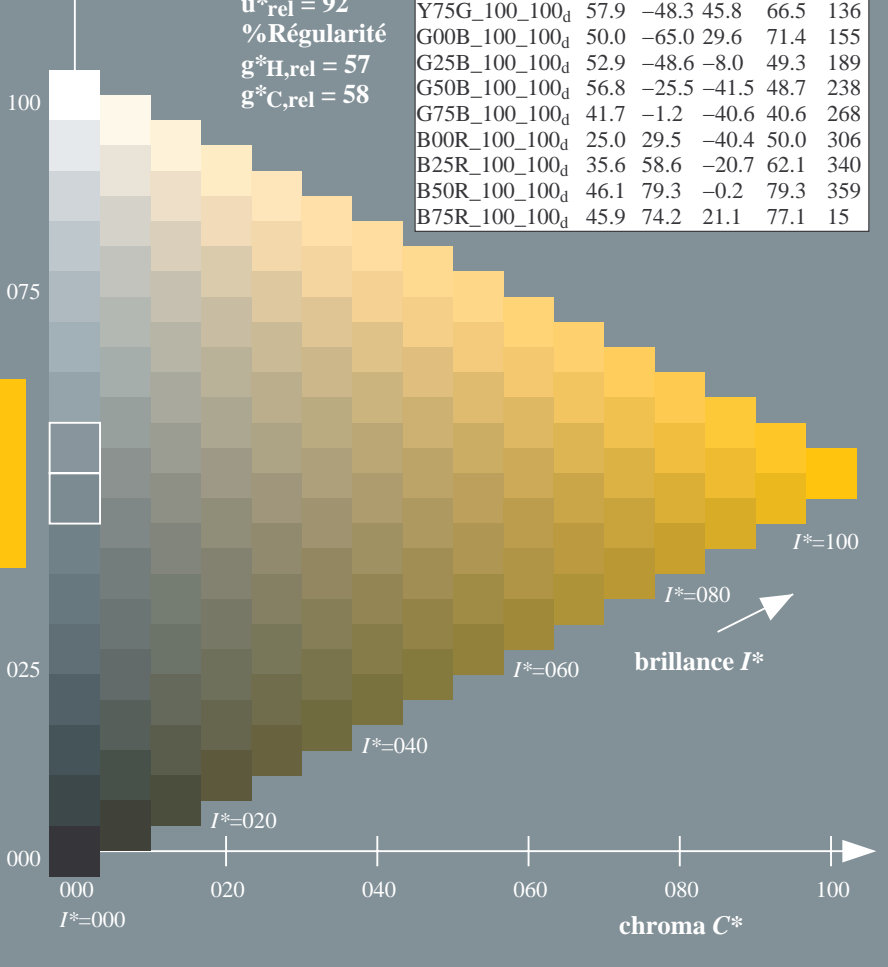
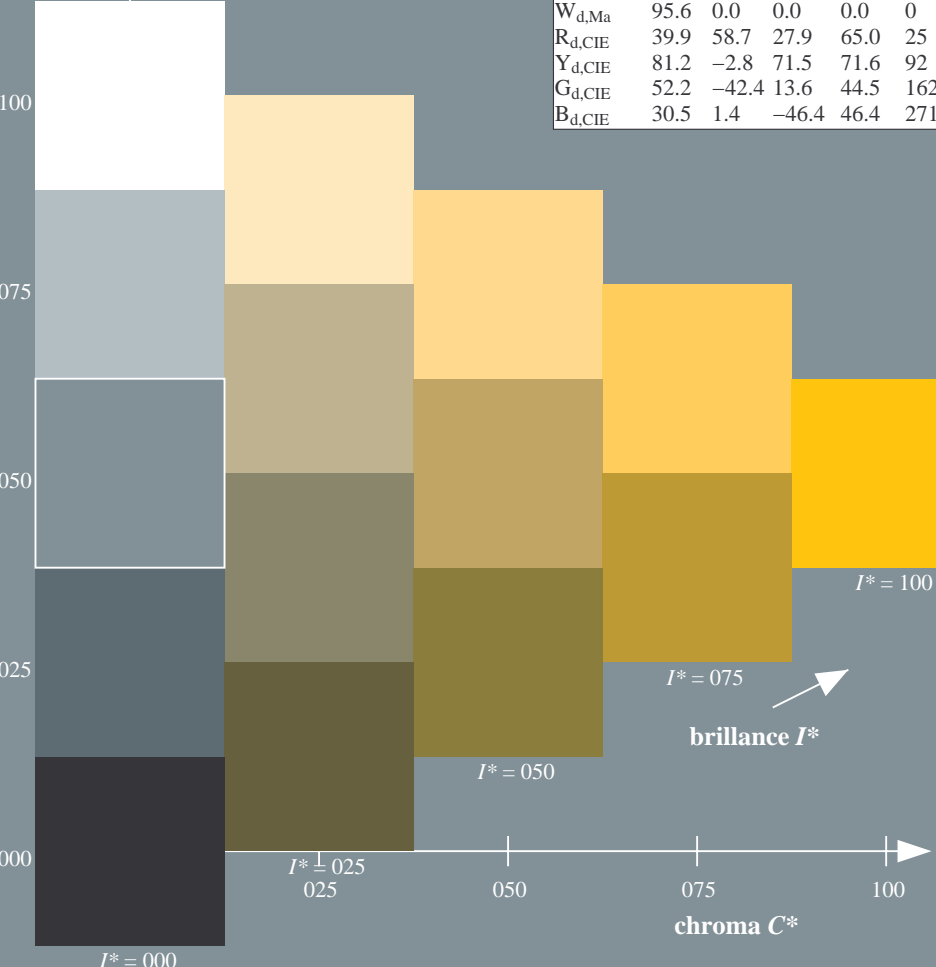
$rgbic^*_{d, Ma}: 1.0\ 0.76\ 0.0\ 1.0\ 1.0$

triangle de luminosité  $T^*$

**ORS20a; données CIELAB (a) adaptées**

$H^*_d$	$L^*=L^*_a$	$a^*_a$	$b^*_a$	$C^*_{ab,a}$	$h^*_{ab,a}$
R00Y_100_100 <sub>d</sub>	45.4	70.9	44.8	83.9	32
R25Y_100_100 <sub>d</sub>	53.0	53.4	54.8	76.5	45
R50Y_100_100 <sub>d</sub>	64.9	28.9	68.6	74.5	67
R75Y_100_100 <sub>d</sub>	78.6	4.3	84.7	84.8	87
Y00G_100_100 <sub>d</sub>	87.8	-10.2	95.4	96.0	96
Y25G_100_100 <sub>d</sub>	81.2	-17.0	84.3	86.0	101
Y50G_100_100 <sub>d</sub>	70.6	-29.7	66.5	72.8	114
Y75G_100_100 <sub>d</sub>	57.9	-48.3	45.8	66.5	136
G00B_100_100 <sub>d</sub>	50.0	-65.0	29.6	71.4	155
G25B_100_100 <sub>d</sub>	52.9	-48.6	-8.0	49.3	189
G50B_100_100 <sub>d</sub>	56.8	-25.5	-41.5	48.7	238
G75B_100_100 <sub>d</sub>	41.7	-1.2	-40.6	40.6	268
B00R_100_100 <sub>d</sub>	25.0	29.5	-40.4	50.0	306
B25R_100_100 <sub>d</sub>	35.6	58.6	-20.7	62.1	340
B50R_100_100 <sub>d</sub>	46.1	79.3	-0.2	79.3	359
B75R_100_100 <sub>d</sub>	45.9	74.2	21.1	77.1	15

% Gamme  
 $u^*_{rel} = 92$   
% Régularité  
 $g^*_{H, rel} = 57$   
 $g^*_{C, rel} = 58$



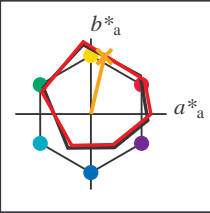
Entrée et sortie: Système Offset Reflective ORS18a pour la teinte CIELAB relative  $h_{ab,a,rel} = h_{ab}/360 = 76/360 = 0.21$

$H^*_e = R75Y_e$

Données de couleurs périphériques (d)

ou élémentaires (e):

$HIC^*_e$   
code de teinte pour les couleurs de cette page:  
 $H^*_e = R75Y_e$   
triangle de luminosité  $T^*$



**ORS20a; données CIELAB (a) adaptées**

nom	$L^*=L^*_a$	$a^*_a$	$b^*_a$	$C^*_{ab,a}$	$h^*_{ab,a}$
R <sub>e</sub> ,Ma	45.6	72.2	34.4	80.0	25
Y <sub>e</sub> ,Ma	83.6	-3.6	90.4	90.4	92
G <sub>e</sub> ,Ma	50.6	-62.1	19.9	65.2	162
C <sub>e</sub> ,Ma	55.0	-36.2	-27.2	45.3	216
B <sub>e</sub> ,Ma	40.2	1.2	-40.6	40.6	271
M <sub>e</sub> ,Ma	31.1	47.7	-29.1	55.9	328
N <sub>e</sub> ,Ma	24.3	0.0	0.0	0.0	0
W <sub>e</sub> ,Ma	95.6	0.0	0.0	0.0	0
R <sub>e</sub> ,CIE	39.9	58.7	27.9	65.0	25
Y <sub>e</sub> ,CIE	81.2	-2.8	71.5	71.6	92
G <sub>e</sub> ,CIE	52.2	-42.4	13.6	44.5	162
B <sub>e</sub> ,CIE	30.5	1.4	-46.4	46.4	271

Les données de couleur maximale (Ma):

$LabCh^*_{e, Ma}: 70 \ 17 \ 75 \ 77 \ 76$

$HIC^*_{e, Ma}: R75Y_{100_{100}e}$

$rgbic^*_{e, Ma}$ :

1.0 0.6 0.0 1.0 1.0

triangle de luminosité  $T^*$

% Gamme  
 $u^*_{rel} = 92$   
% Régularité  
 $g^*_{H,rel} = 57$   
 $g^*_{C,rel} = 58$

**ORS20a; données CIELAB (a) adaptées**

$H^*_e$	$L^*=L^*_a$	$a^*_a$	$b^*_a$	$C^*_{ab,a}$	$h^*_{ab,a}$
R00Y_100_100 <sub>e</sub>	45.6	72.2	34.4	80.0	25
R25Y_100_100 <sub>e</sub>	50.5	59.2	51.6	78.6	41
R50Y_100_100 <sub>e</sub>	60.2	38.2	63.4	74.1	58
R75Y_100_100 <sub>e</sub>	70.9	17.9	75.9	77.9	76
Y00G_100_100 <sub>e</sub>	83.6	-3.6	90.4	90.4	92
Y25G_100_100 <sub>e</sub>	74.5	-25.0	74.3	78.4	108
Y50G_100_100 <sub>e</sub>	62.6	-40.9	53.8	67.6	127
Y75G_100_100 <sub>e</sub>	54.1	-55.5	37.5	67.0	145
G00B_100_100 <sub>e</sub>	50.6	-62.1	19.9	65.2	162
G25B_100_100 <sub>e</sub>	53.0	-48.6	-8.2	49.2	189
G50B_100_100 <sub>e</sub>	55.0	-36.2	-27.2	45.3	216
G75B_100_100 <sub>e</sub>	53.3	-19.8	-41.3	45.9	244
B00R_100_100 <sub>e</sub>	40.2	1.2	-40.6	40.6	271
B25R_100_100 <sub>e</sub>	28.1	23.4	-40.3	46.7	300
B50R_100_100 <sub>e</sub>	31.1	47.7	-29.1	55.9	328
B75R_100_100 <sub>e</sub>	41.4	70.4	-9.8	71.1	352

